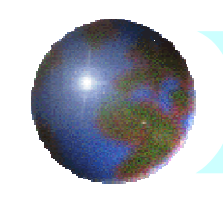
Universidade Federal do Paraná Curso de Engenharia Cartográfica e de Agrimensura





4 - Métodos baseados em Geodésia Espacial

- 4 Métodos baseados em Geodésia Espacial
- 4.2 Outras metodologias

```
4.2.1 - LASER (SLR e LLR)
```

4.2.2 - VLBI

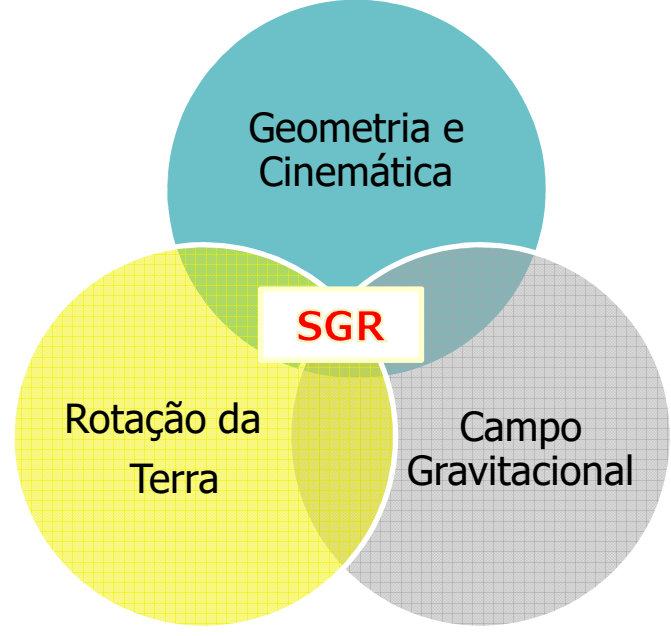
4.2.3 - DORIS

4.2.4 - Altimetria por satélites

4.2.5 - Gravimetria por satélites



- Novos Métodos Geodésicos permitem as observações aplicáveis a modelagens no contexto dos "três pilares da Geodésia" e Sistemas Geodésicos de Referência (SGRs).
- Métodos terrestres, aéreos e espaciais
- Monitoramento da <u>forma da terra</u>, <u>campo gravitacional</u> e <u>rotação</u> com acurácia, resolução e estabilidade sem precedentes.





AS BASES E FERRAMENTAS DA GEODÉSIA MODERNA

Geometria e Cinemática

GNSS; Satélites altímetros; SLR móvel; LPS; INS/GPS; Nivelamento geométrico; Sensoriamento Remoto; InSAR; Marégrafos

ADAPTADO DE: H.-P. Plag & M. Pearlman (eds.), 2009. Global Geodetic Observing System, Springer, pp. 24.

Redes Geodésicas de Referência

Rotação da Terra VLBI; LLR; SLR; DORIS; GNSS; PRARE;

Alt. Satélite

VLBI; LLR; SLR; DORIS; GNSS; Astronomia clássica Futuros giroscópios terrestres Campo Gravitacional e da Gravidade

Grav. terrestre; INS/GPS;
Gravimetria marinha e aérea;
Análise de órbitas de satélites;
Gravimetria absoluta e sup.;
Hi-Lo & Lo-Lo SST;
Grad. por satélite;
PRARE



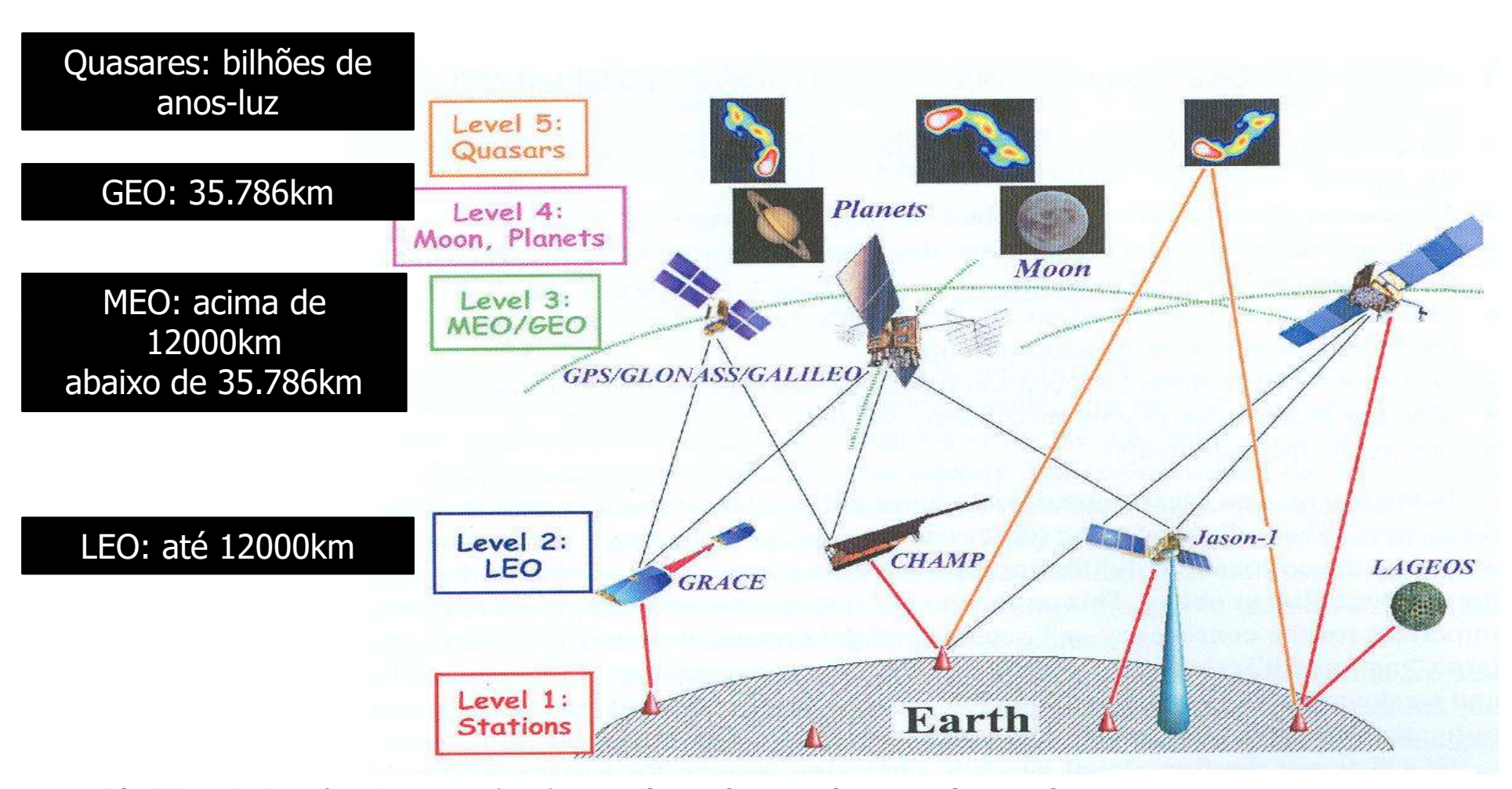
GGOS - Global Geodetic Observing System

- Estabelecido pela International Association of Geodesy (IAG)
 - integrar as três áreas fundamentais da Geodésia (3 pilares);
 - monitorar os parâmetros geodésicos e suas variações temporais;
 - realizar estas tarefas em um sistema de referência global com acurácia relativa de 10⁻⁹ ou melhor.

"Entender o Sistema-Terra e sua evolução no tempo"



5 Níveis do GGOS e suas interações com observações de vários tipos



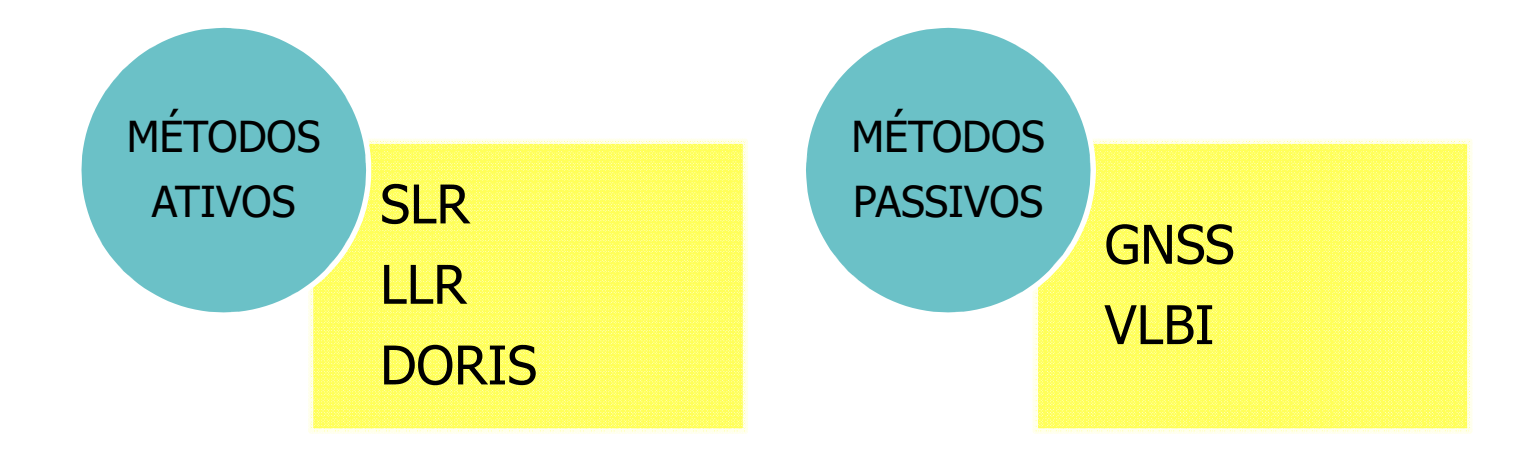
FONTE: H.-P. Plag & M. Pearlman (eds.), 2009. Global Geodetic Observing System, Springer, pp. 239.



Métodos geodésicos espaciais

PASSIVOS: não emitem sinais mas somente recebem de fontes remotas

ATIVOS: emitem e recebem sinais





4.2.1 - LASER

Estações ILRS (45 estações)

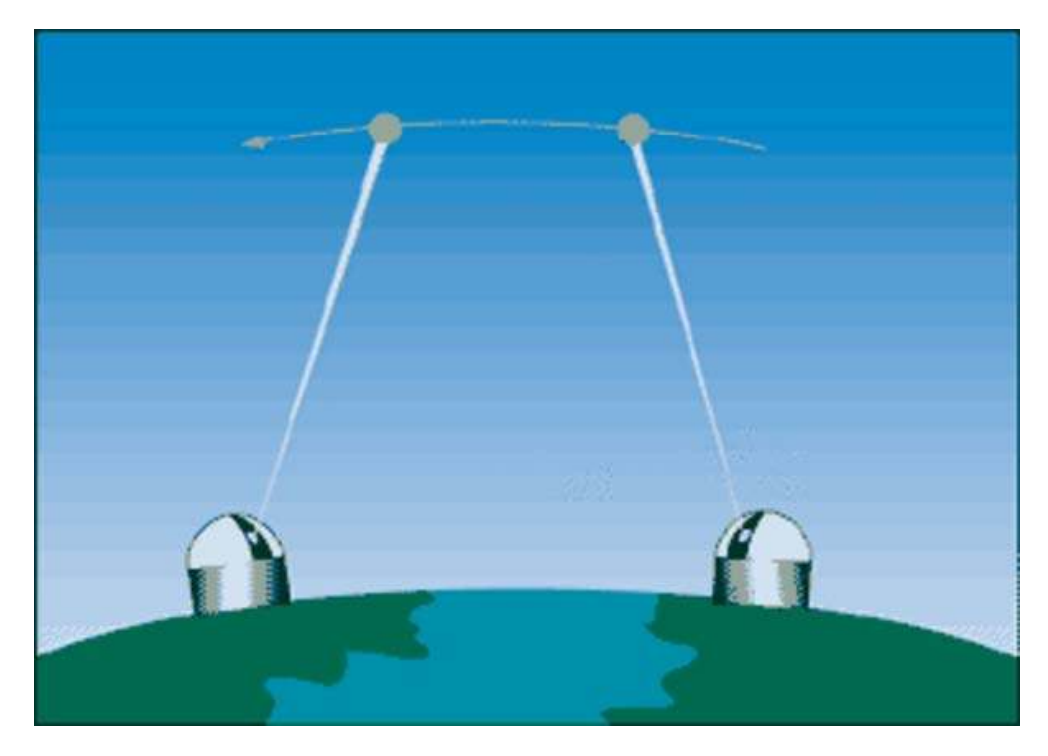


FONTE: https://ilrs.cddis.eosdis.nasa.gov/network/stations/index.html



Princípio do LASER SLR - Satellite Laser Ranging

SLR é uma técnica de mensuração do tempo do duplo percurso de um feixe laser desde a estação terrestre até o conjunto retrorefletor no satélite (Terra-Satélite-Terra).



FONTE: H.-P. Plag & M. Pearlman (eds.), 2009. Global Geodetic Observing System, Springer, pp. 29



4.2.1 - LASER

- Provê medidas com precisão milimétrica que ajudam na definição de TRF e suporte à determinação das órbitas precisas;
- Grande parte dos satélites vinculados às aplicações geodésicas têm retrorefletores para uso desta técnica;
- É a técnica fundamental para determinação do geocentro;

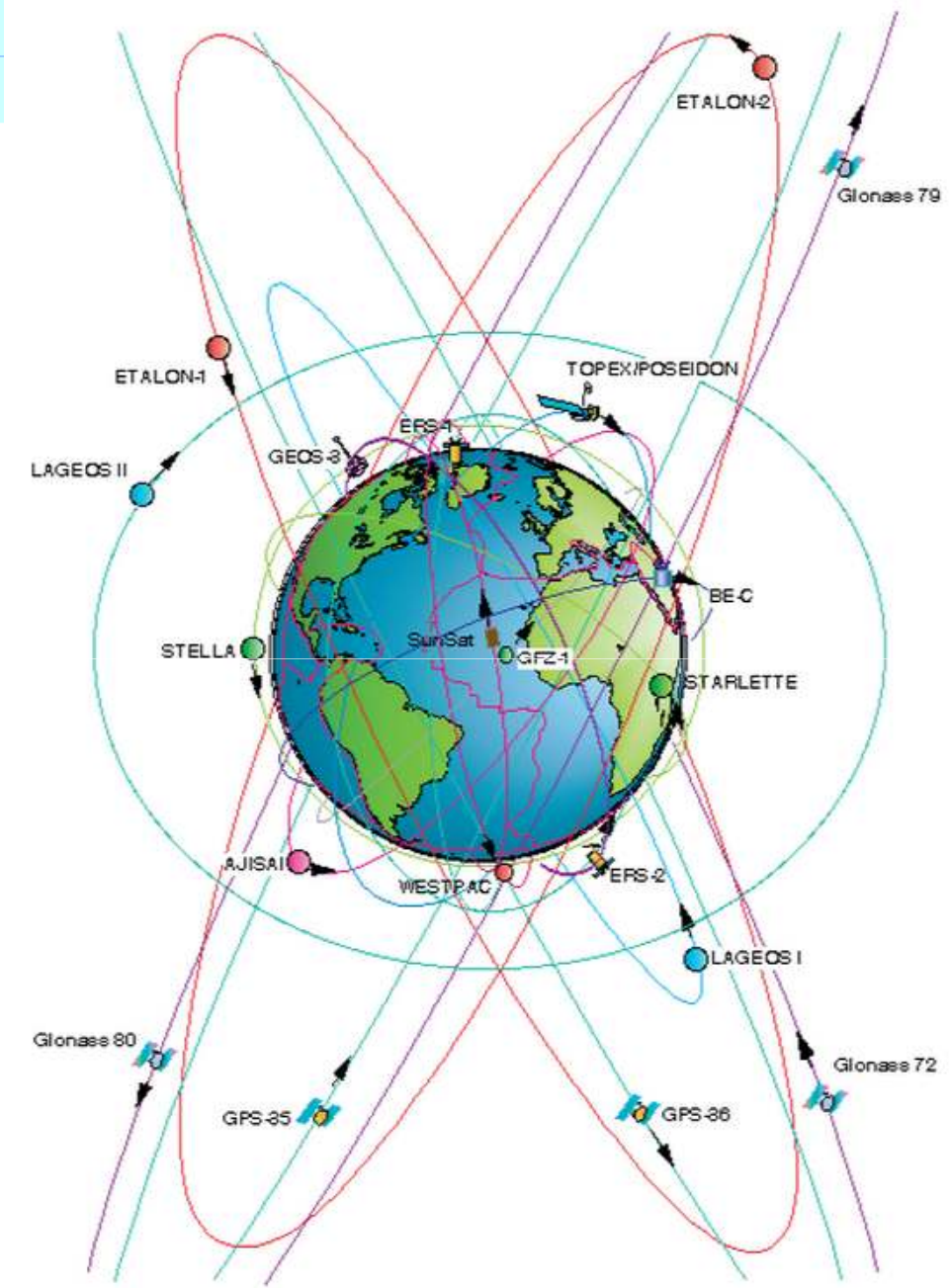
Com base em uma rede de cerca de 40 estações, tem atividades coordenadas pelo ILRS.

Satélite LAGEOS-1

Diâmetro 60cm Peso ~400kg



Missões que utilizam a tecnologia Laser



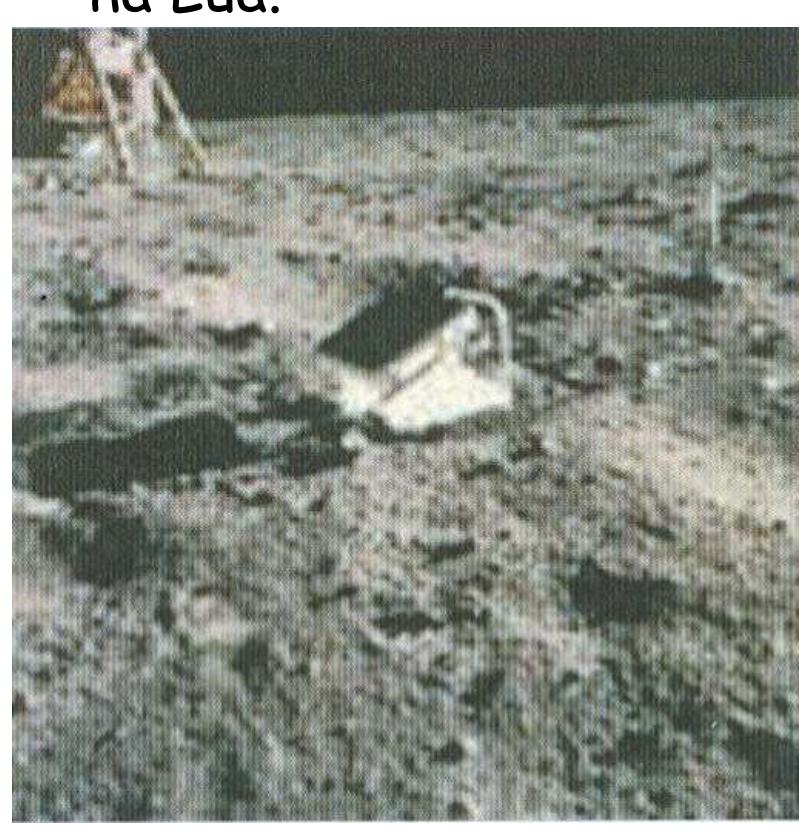
FONTE: http://ilrs.gsfc.nasa.gov/missions/satellite_missions/index.html



4.2.1 - LASER

LLR - Lunar Laser Ranging

Mesmo princípio do SLR, com retrorefletores instalados na Lua.



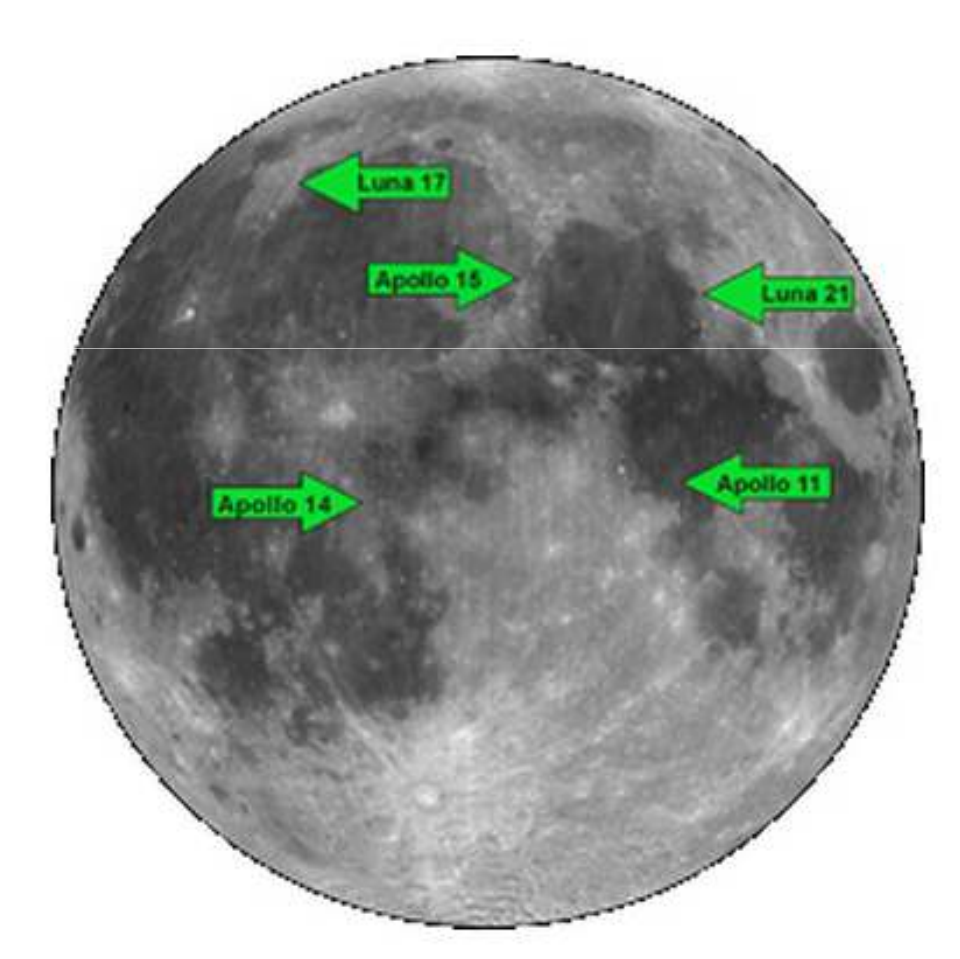


Refletor laser na lua

FONTE: H.-P. Plag & M. Pearlman (eds.), 2009. Global Geodetic Observing System, Springer, pp. 31



LLR - Lunar Laser Ranging Localização de refletores na Lua



FONTE: http://ilrs.gsfc.nasa.gov/science/scienceContributions/lunar.html

PRODUTOS DISPONIBILIZADOS PELO ILRS:

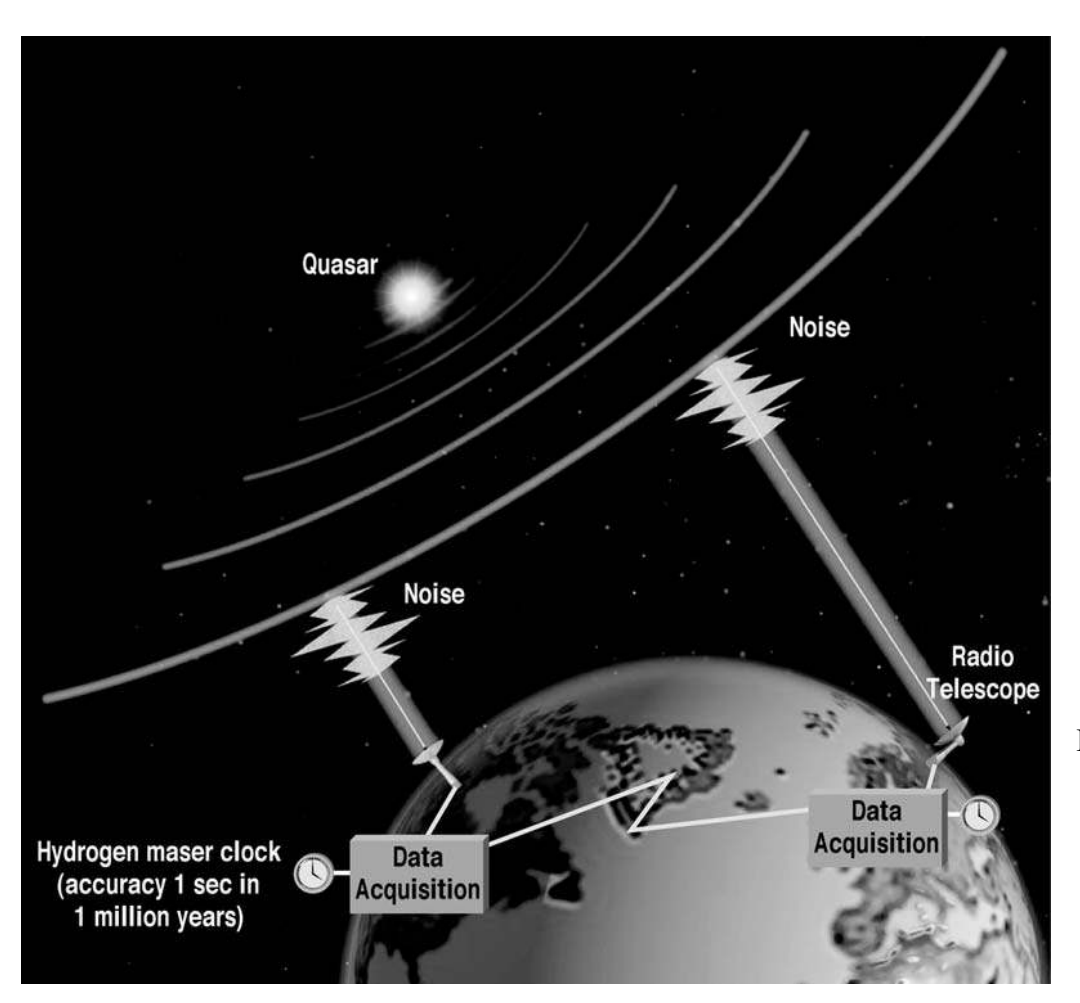
- Parâmetros de Orientação da Terra (movimento do pólo e duração do dia);
- Coordenadas das estações e velocidades dos sistemas de rastreio ILRS;
- Variação no tempo das coordenadas do geocentro ∆(Tx; Ty; Tz);
- Coeficientes estáticos e variáveis no tempo do campo gravitacional;
- Efemérides dos satélites com acurácia centimétrica;
- Constantes físicas fundamentais;
- Efemérides lunares e libração;
- Parâmetros de orientação da lua.

VLBI - Very Long Baseline Interferometry

- Técnica geodésica espacial baseada em rádio astronomia desenvolvida nos anos 70;
- Rádio-interferômetro: um par de antenas direcionais (rádiotelescópios) recebem rádio sinais de objetos extragaláticos (quasares);
- O rádio sinal do quasar é recebido e gravado pela estação VLBI com tempo preciso (estabilidade ~10⁻¹²s => 3mm);
- O atraso no recebimento do sinal entre as duas estações é utilizado para estimar a posição das estações com precisão melhor que 1cm, e a velocidade relativa pode ser medida com observações de vários anos.



Princípio de funcionamento





Radiotelescópio de 14,2m em Fortaleza FONTE: http://ivscc.gsfc.nasa.gov/publications/ar2012/nsfort/

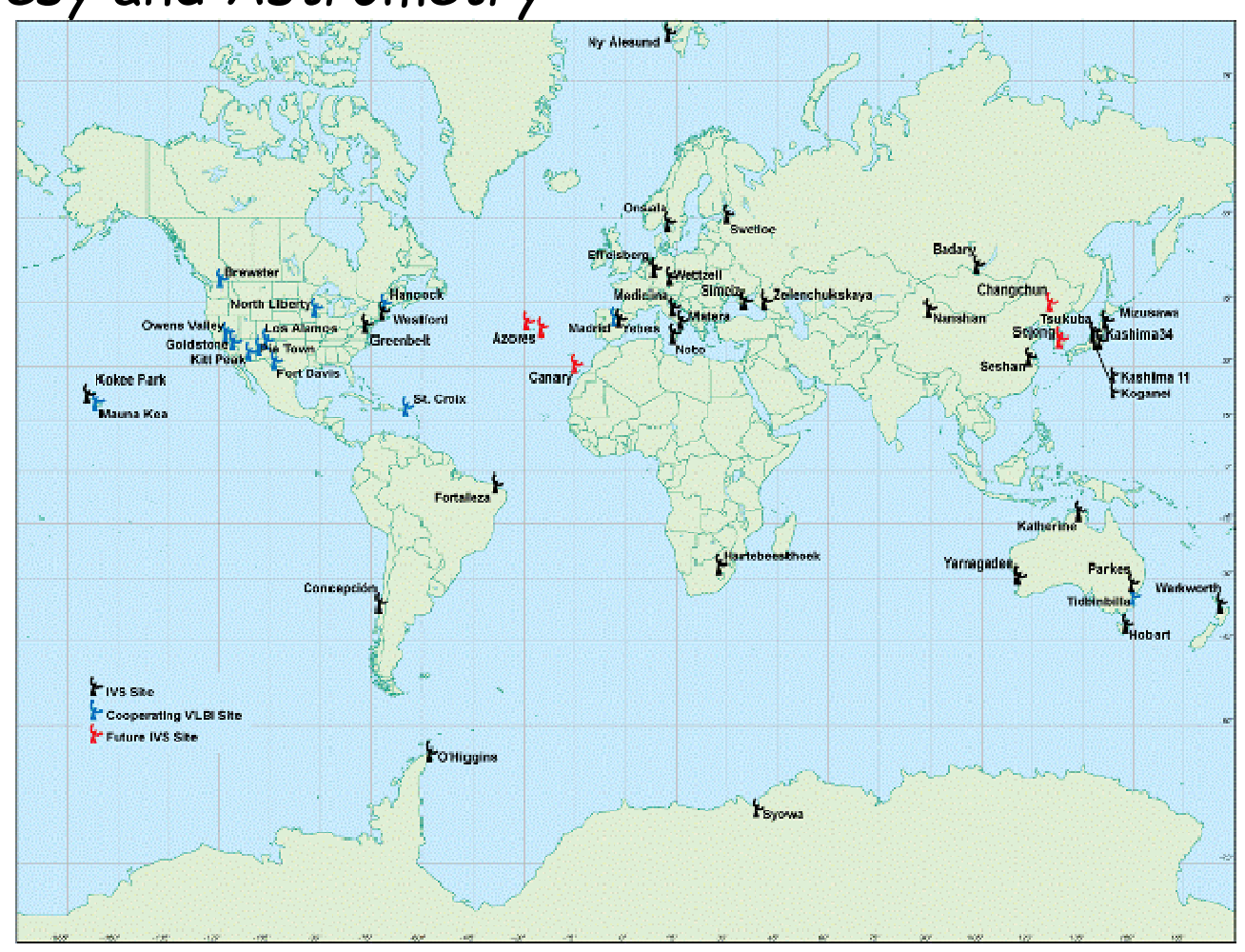
FONTE: H.-P. Plag & M. Pearlman (eds.), 2009. Global Geodetic Observing System, Springer, pp. 28.



Pede com cerca de 40 estações distribuídas em todo o globo

Atividades coordenadas pelo IVS - International VLBI Service

for Geodesy and Astrometry



PRODUTOS DISPONIBILIZADOS PELO IVS:

- Terrestrial Reference Frame (TRF);
- International Celestial Reference Frame (ICRF), e
- Earth Orientation Parameters (EOP). VLBI é a principal ferramenta na determinação dos EOP;
- Única ferramenta para a determinação das coordenadas de quasares;
- Vários parâmetros geodinâmicos, astronômicos e meteorológicos.

4.2.3 - DORIS

Doppler Orbitography and Radiopositioning Integrated by Satellite

- Principal objetivo: Determinação das órbitas precisas dos satélites – acurácia na ordem do centímetro
- Manutenção de acessibilidade global e melhoria do International Terrestrial Reference Frame (ITRF);
- Monitoramento da rotação da Terra;
- Determinação da posição relativa e absoluta de estações fixas
- Atividades coordenadas pelo IDS *International DORIS* Service



FONTE: http://ids-doris.org/welcome.html



4.2.3 - DORIS

Princípio de funcionamento - Efeito Doppler Diferença entre o comprimento de onda emitido e recebido de objetos em movimento The satellite is upright the beacon, it's the

The satellite is **upright** the beacon, it's the TCA point (*Time of Closest Approach*).

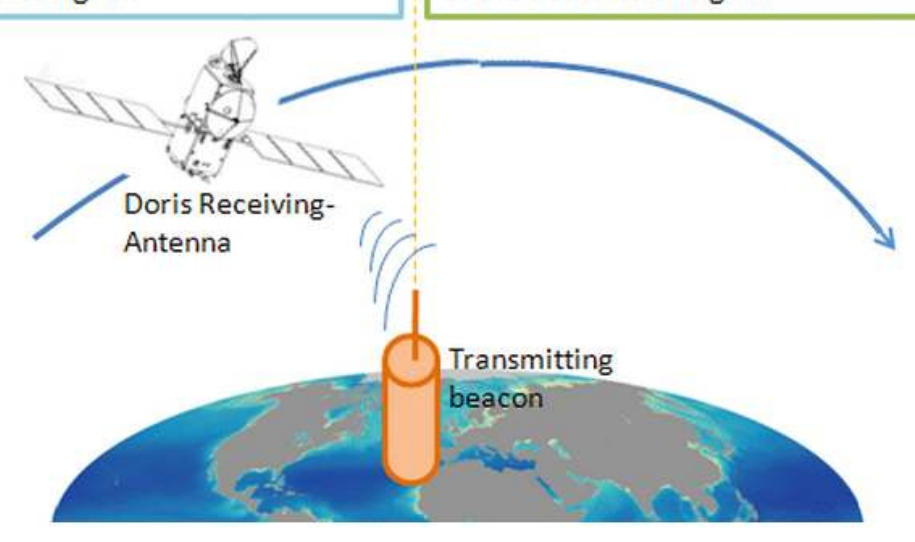
The frequency of the received signal is **equal** to the frequency of the transmitted signal.

The satellite is **approaching** the beacon:

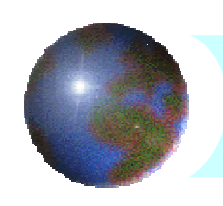
The frequency of the received signal is **greater** than the frequency of the transmitted signal.

The satellite is **moving away** the beacon:

The frequency of the received signal is **lower** than the frequency of the transmitted signal.



FONTE: http://www.aviso.oceanobs.com/en/doris/principle.html



4.2.3 - DORIS





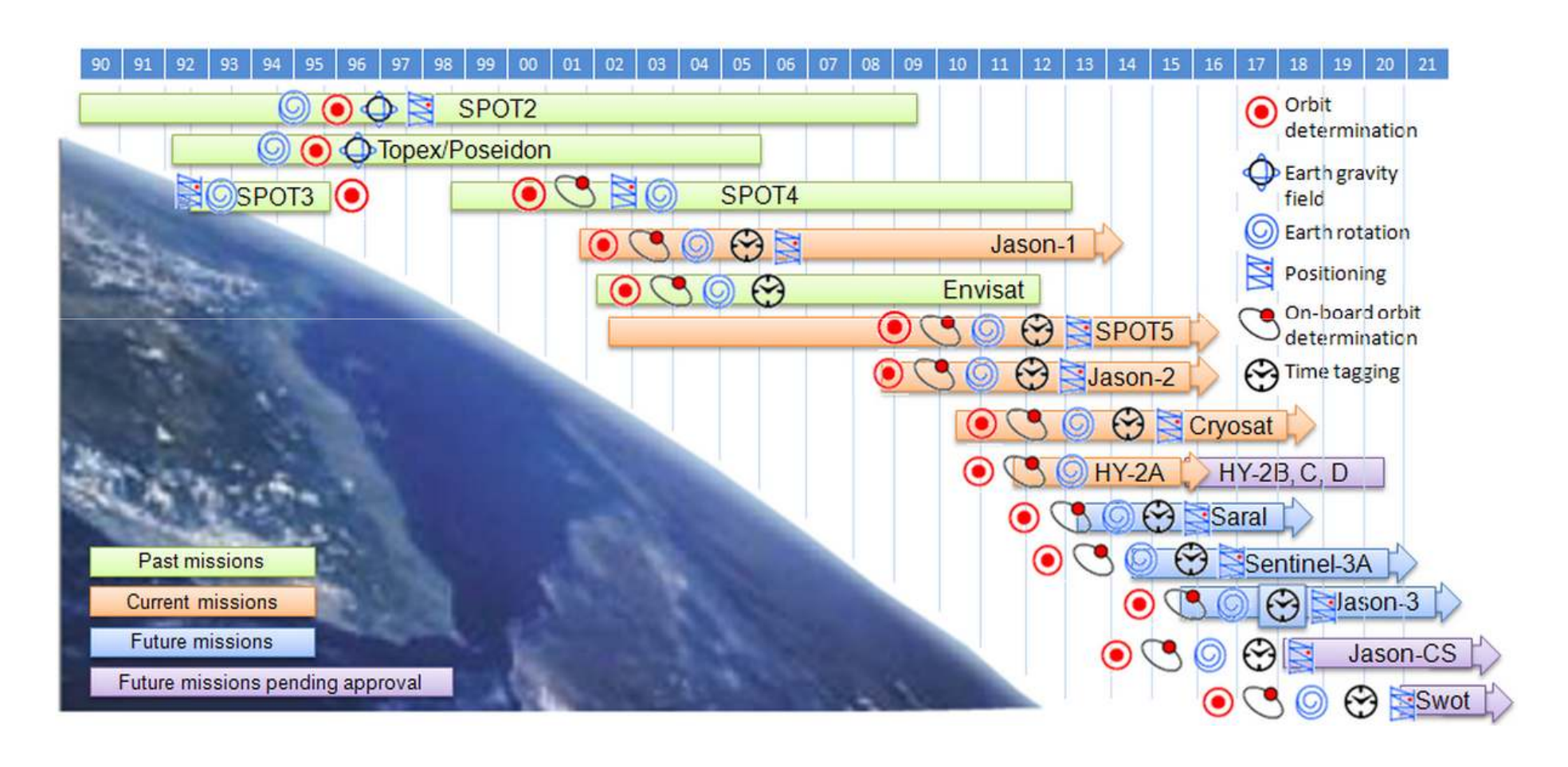
Centros de controle e processamento para o cálculo das órbitas



FONTE: http://www.aviso.oceanobs.com/en/doris/system/control-and-processing-center.html

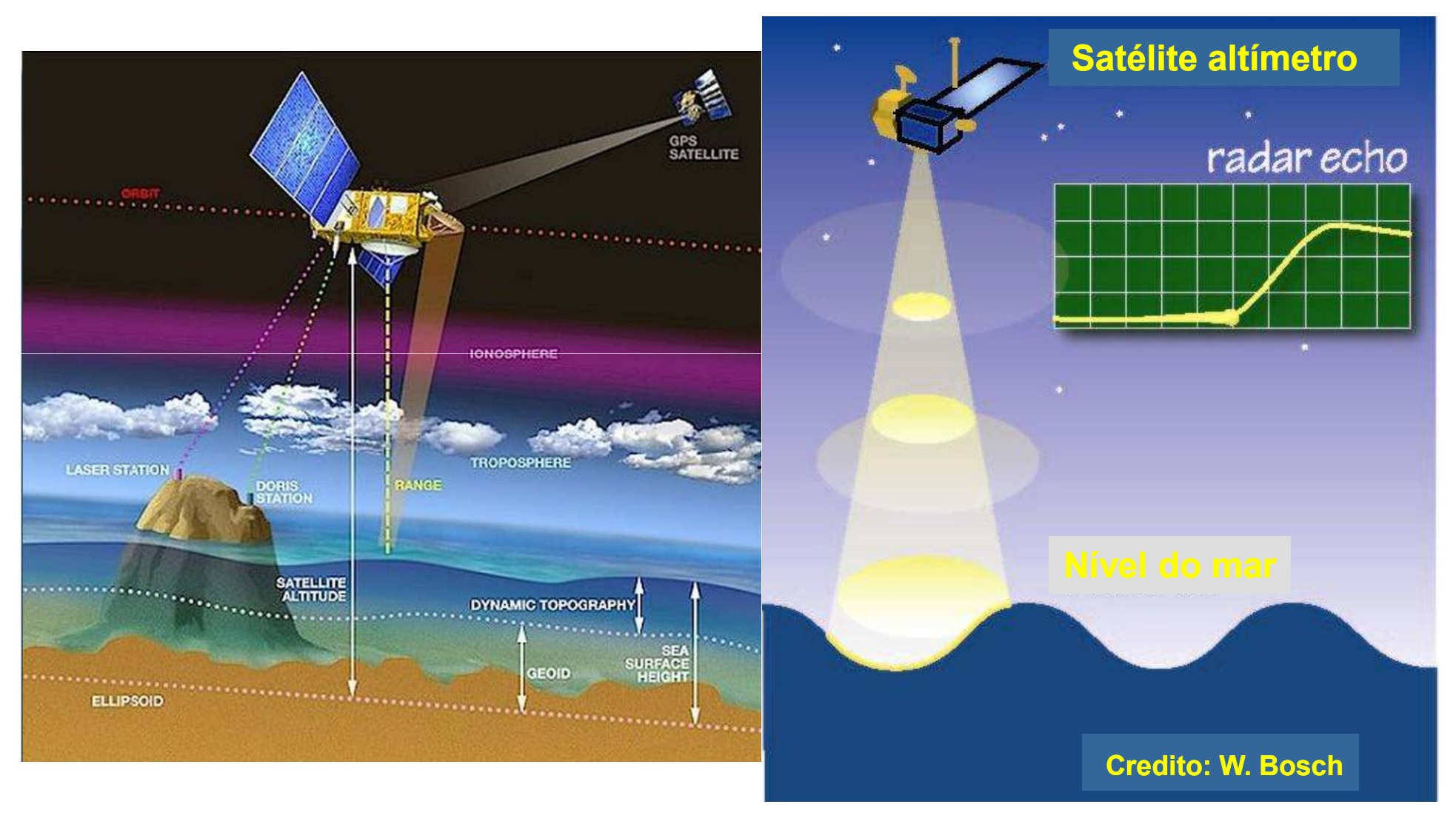


Satélites com DORIS a bordo e suas aplicações

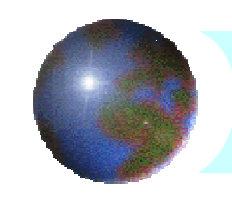


FONTE: http://www.aviso.oceanobs.com/en/doris/doris-applications.html



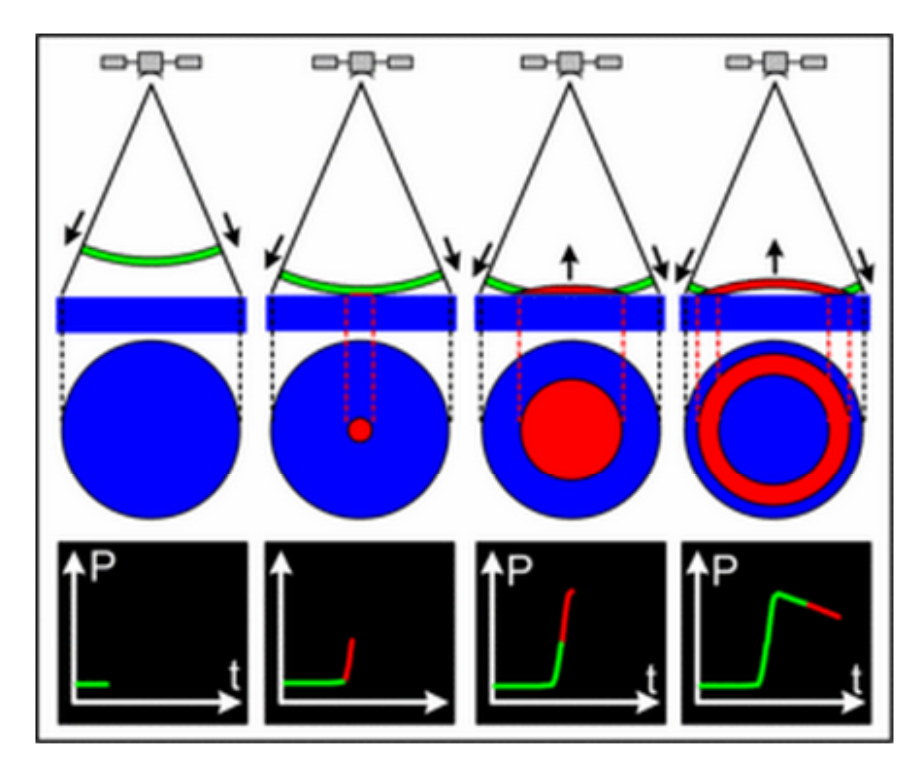


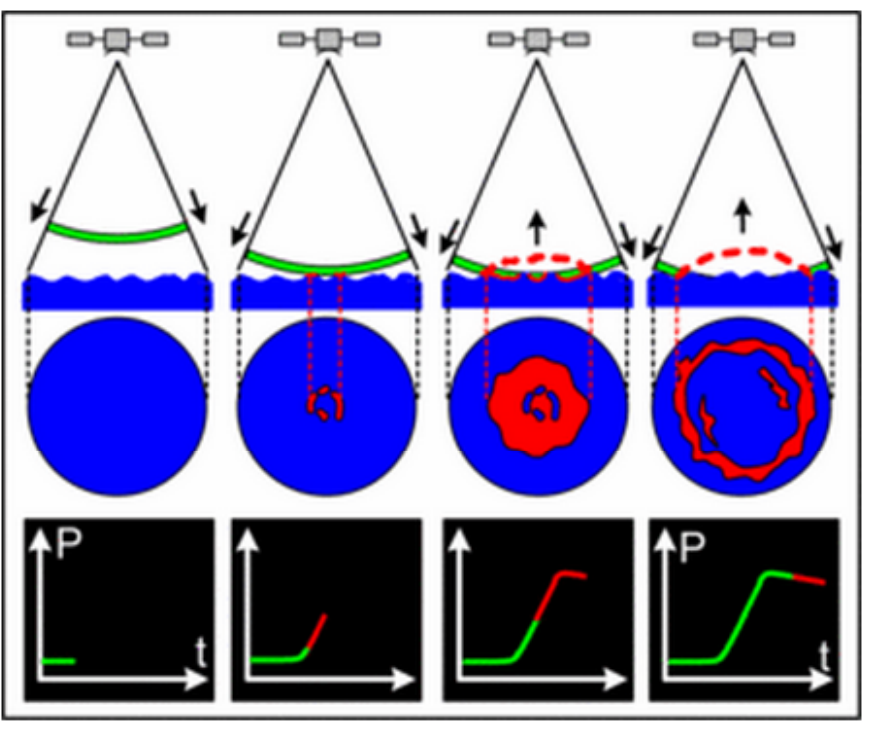
Atividades coordenadas pelo IAS – International Altimetry Service



- Radar altímetro: medidas de altitude da superfície instantânea (mar, gelo), em relação ao elipsóide de referência;
- Altímetro emite o sinal para a Terra, e recebe o eco da superfície do oceano, após a sua reflexão. A altitude do oceano é representada pela distância satélite - superfície e a posição do satélite em relação a uma superfície de referência arbitrária (elipsóide de referência).
- A posição do satélite com acurácia é determinada pelo sistema DORIS;
- As perturbações referentes à refração atmosférica, efeitos geofísicos e outros são corrigidos por modelos.





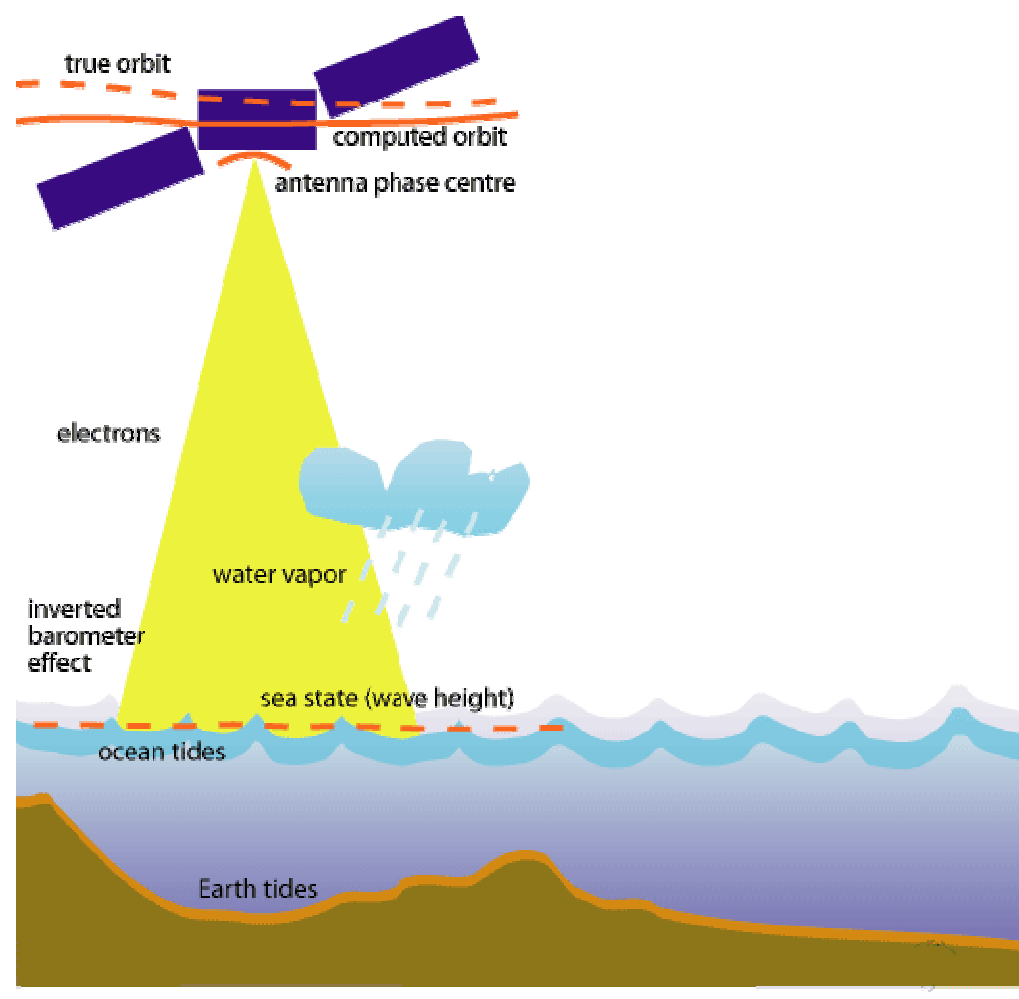


- O radar altímetro recebe o eco refletido, que varia em intensidade com o tempo. Onde a superfície do oceano é plana (esq.) a amplitude da onda refletida aumenta bruscamente desde o momento em que a vanguarda do sinal do radar atinge a superfície.
- Entretanto, em mares agitados ou com muitas ondas (dir), o sinal atinge a crista de uma onda e então uma série de outras cristas que fazem com que o aumento da amplitude da onda refletida seja mais gradual.
- Desta onda refletida pode ser derivada a altura da onda do mar, desde que a declividade da curva que representa sua amplitude ao longo do tempo seja proporcional à altura da onda. Creditos: *Cnes*

FONTE: http://www.aviso.oceanobs.com/en/altimetry/principle/pulses-and-waveforms.html



ERROS DE OBSERVAÇÃO



CRÉDITO: W. Bosch

Efeitos instrumentais

- Atraso no tempo eletrônico
- Deriva do relógio (oscilador) Offset no centro de fase da
- antena
- Centro de gravidade
- Tempo de marcação das observações
- Erro no doppler

Refração atmosférica devido a:

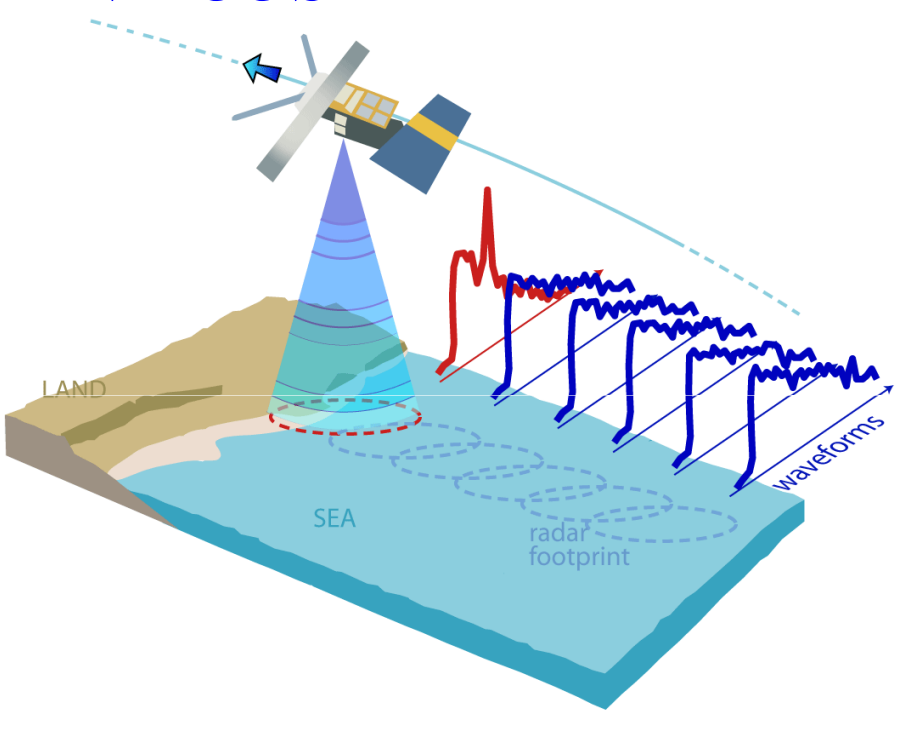
- ionosfera
- troposfera, componente seca
- troposfera, componente úmida

- Alvo (superfície do oceano)
 Marés oceânicas, efeitos de carregamento,
 Marés terrestres, maré polar
- Influência eletromagnética (estado oceânico) Efeito de inversão barométrica



DEGRADAÇÃO DO SINAL NA COSTA

Quando o satélite altímetro se aproxima da costa, a entrada do *footprint* em terra modifica a forma da onda (em vermelho na figura) tornando a estimativa da distância superfície-satélite e outras quantidades derivadas mais difícil.



Alternativas em terra: *SAR*, p.ex. ALOS

FONTE: http://www.coastalt.eu/coastalt-short-web-summary

4.2.4 - Altimetria por satélites cnes Mobile version MY AVISO+ DATA USER CORNER APPLICATIONS MISSIONS TECHNIQUES | NEWS | MULTIMEDIA Sentinel-3&FOSAT Jason-CS / Sentinel-6 **GFO Envisat** Topex-Poseidon Jason-3 Sentinel-3B Past missions Future mission ERS-1 al/Altika ERS-2 Envisat-EM Sentinel-3 Envisat Jason-1 Jason-Jason-1 EM Topex Jason-3 Topex EM Jason-2 Geosat-GM GFO Geosat IceSat Cryosat-2 HY-ZA 1985 1987 1989 1991 1993 1995 1997 1999 2001 2003 2005 2007 2009 2011 2013 2015 2017

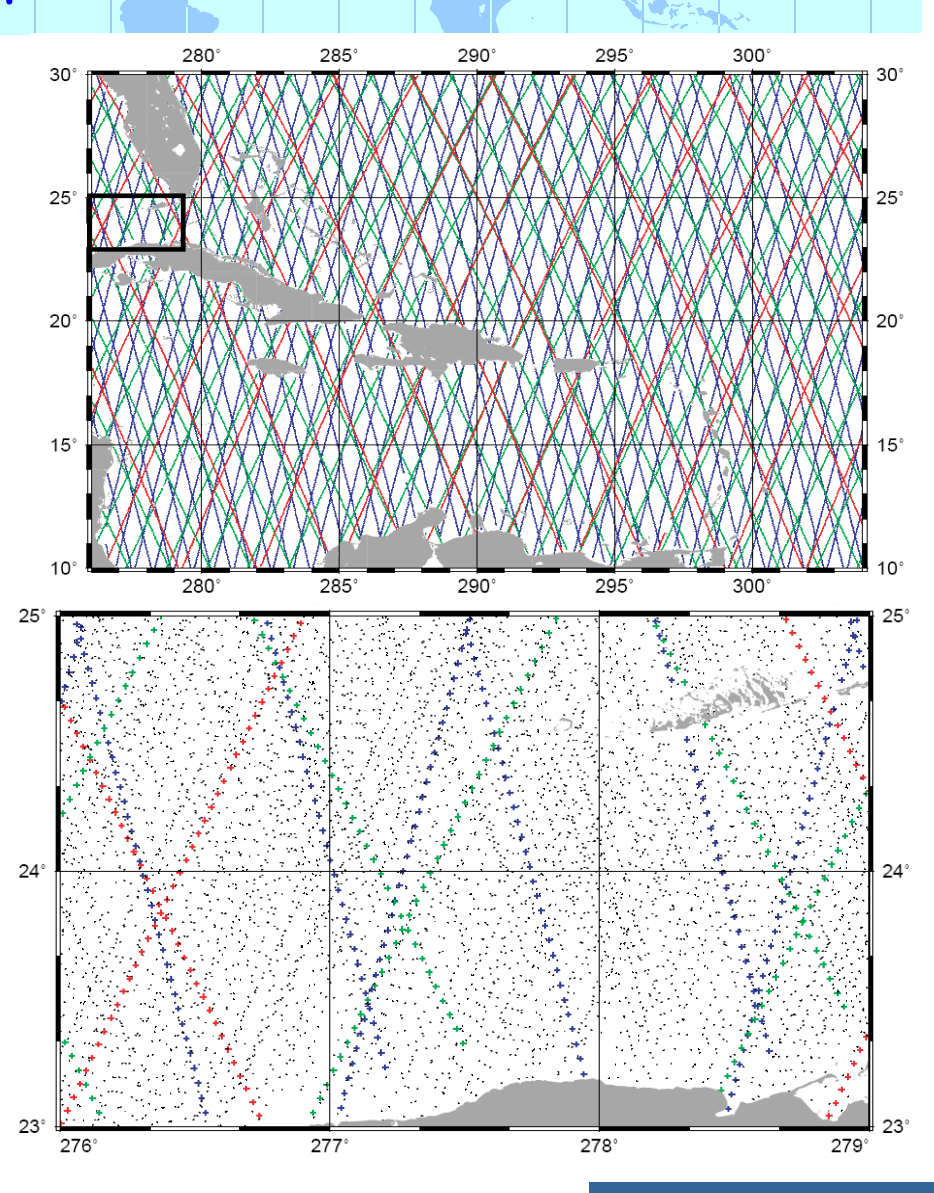


Trilhas das missões
Repetidoras (observam sempre sobre a mesma trilha)

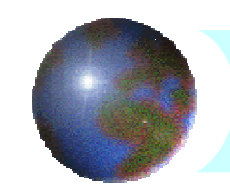
(T/P GFO ERS)

Pontos das missões sequenciais (ERS1 e Geosat) Trilhas das missões

repetidoras (T/P- JASON; GFO;



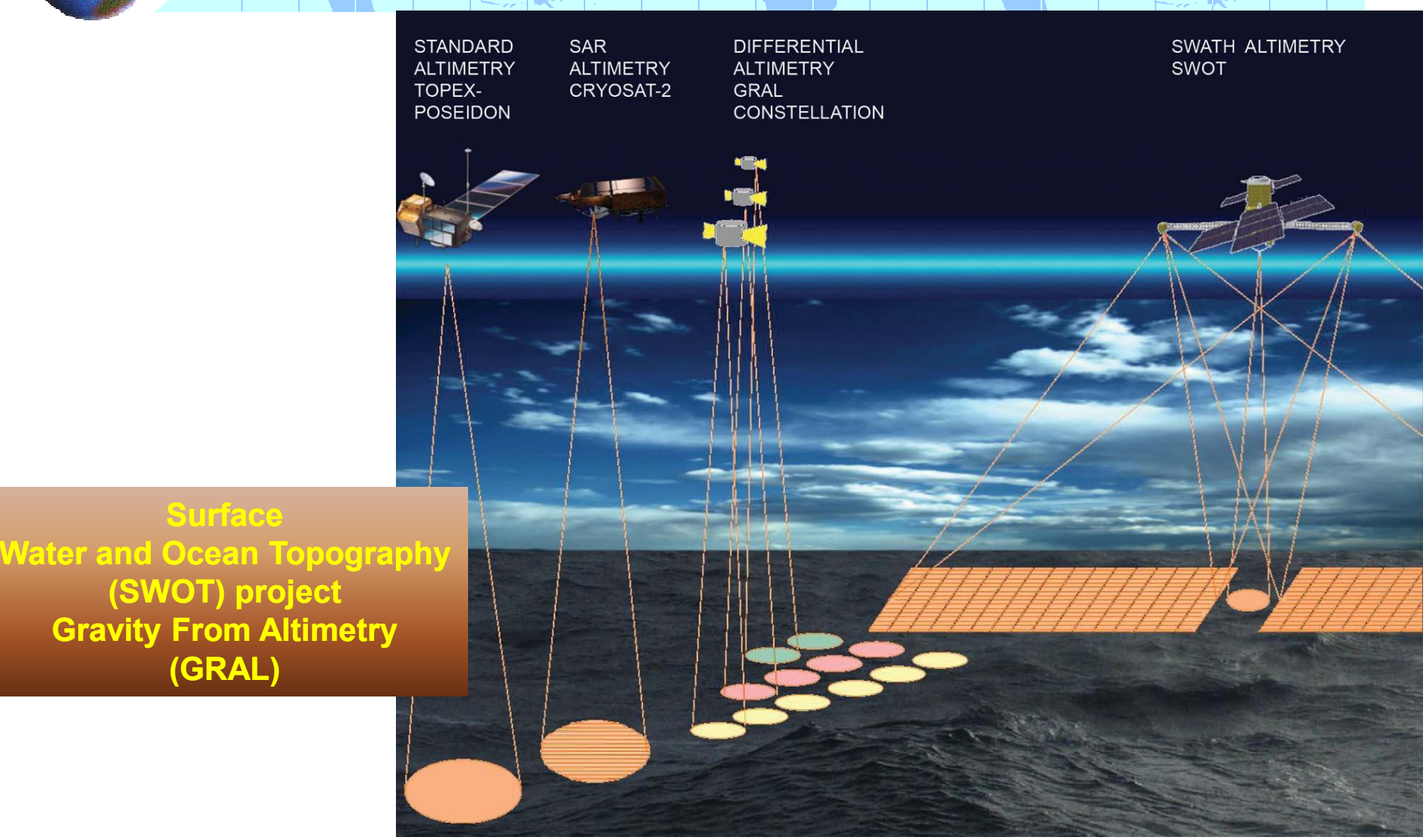
Crédito: W. Bosch



APLICAÇÕES

- Geóide marinho global com alta precisão e resolução;
- Geofísica marinha (tectônica marinha, litosfera oceânica, topografia do fundo do mar, etc.);
- Variações temporais da superfície dos oceanos;
- Correntes de superfície, dinâmica da topografia dos oceanos, El Niño, conteúdo de calor, aumento do nível dos oceanos, marés, ondas, etc;
- Mudança na elevação das camadas de gelo;
- Nível de água de lagos, rios e inundações.







4.2.5 - Gravimetria por satélites

MISSÕES GRAVIMÉTRICAS:

Merecem destaque, ao par das missões espaciais referidas as missões gravimétricas LEO (Low Earth Orbit); CHAMP - Challenging Mini-Satellite Payload; GRACE – Gravity Recovery And Climate Experiment; GOCE - Gravity field and steady-state Ocean Circulation Explorer.



FONTES: http://op.gfz-potsdam.de/grace/index_GRACE.html http://op.gfz-potsdam.de/champ/index_CHAMP.html http://www.esa.int/export/esaLP/goce.html

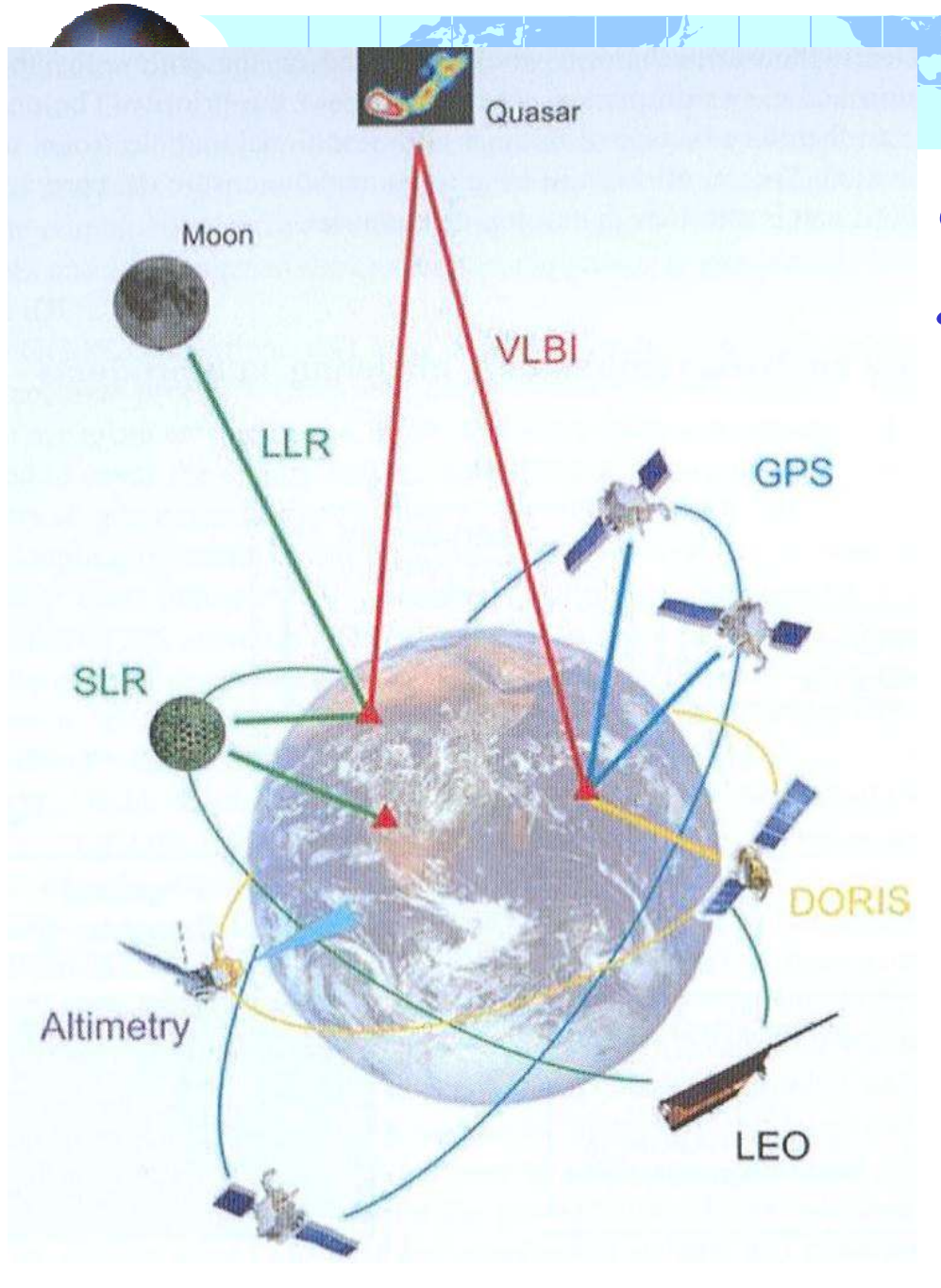


AS FERRAMENTAS DA GEODÉSIA MODERNA

Nº	PARÂMETRO A SER CONTROLADO	VLBI	GNSS	DORIS PRARE	SLR	LLR	ALT. SAT.
1	Coordenadas de Quasars	Х					
2	Nutação	Х	(X)		(X)	X	
3	Movimento do Pólo	X	X	X	X	X	
4	Tempo Universal	X					
5	Duração do Dia		X	X	X	X	
6	Coordenadas e Velocidades	X	X	X	X	X	(X)
7	Geocentro		X	X	X		X
8	Campo da Gravidade		X	X	X	(X)	X
9	Órbitas		X	X	X	X	X
10	Órbitas Terrestres Baixas (LEO)		X	X	X		X
11	Ionosfera	X	X	X			X
12	Troposfera	X	X	X			X
13	Tempo e Freqüência	(X)	X		(X)		

Combinações de técnicas geodésicas espaciais para controle de parâmetros Sistema de Observação da Terra. Entrada 1 define o ICRF. As entradas 2 a 5 definem os EOP. Entradas 6 e 7 definem o ITRF enquanto as entradas 7 a 10 estão relacionadas com o campo da gravidade. A atmosfera é coberta pelas entradas 11 e 12 e a entrada 13 relaciona-se com Sistemas de Tempo.

ADAPTADO DE: H.-P. Plag & M. Pearlman (eds.), 2009. Global Geodetic Observing System, Springer, pp. 268.



Combinação e integração de técnicas de observação geodésicas

• Infraestrutura combinada permite a determinação e manutenção dos Sistemas Geodésicos de Referência Globais, e a determinação do campo de gravidade da Terra e rotação.

FONTE: H.-P. Plag & M. Pearlman (eds.), 2009. Global Geodetic Observing System, Springer, pp. 269.